

## (681) オーステナイト系ステンレス鋼及び高Mn鋼の極低温での磁気特性

川崎製鉄㈱ 鉄鋼研究所

○佐々木晃史, 志賀千晃, 上田修三

田中智夫, 野原清彦

## 1. 緒 言

近年超電導関連技術の発展に伴い、極低温用構造材料の開発が求められている。この材料は強磁場環境下で使用される場合が多く、その磁気特性にも関心が持たれている。本報告では、極低温用候補材料であるオーステナイト系ステ

ンレス鋼と高Mn鋼とについて相安定性や磁気特性を比較して述べる。

## 2. 実験

供試鋼を表1に示す。振動試料型磁力計(VSM)により、室温(RT)→4K→RTの順に各温度での磁化曲線と4K→RTの磁化 $\sigma$ (emu/g)の温度依存性を測定した。試片サイズは5φ×7mm、試験前熱処理は溶体化状態(Aannealed)と750°C×50hの時効処理状態(Aged)の2条件であり、測定に用いた磁場はMax 10kOeである。

## 3. 結 果

①SUS304N鋼に対する結果を図1に示す。Annealed材では、磁化曲線はいずれの温度でも直線的で安定した非磁性を示す。一方、Aged材では冷却前に既に強磁性の発生が認められ、4Kへの冷却により強磁性相が増加する。

②SUS316L鋼は4K冷却により強磁性が発生し、相不安定である。SUS316LN、0.6C-18Mn、0.2C-28Mnの各鋼は相安定であり、4K冷却後も磁化は可逆的にRTの値に一致し、各温度で安定した非磁性を示す。

③各鋼に対して、4K冷却前のRT、4K、4K冷却後のRTでの磁化の値を図2に示す。SUS304鋼は316L鋼よりもさらに相不安定で、4K冷却後は著しく磁化が増加する。

④各鋼に対し、磁化率( $\chi$ )、ネール温度( $T_N$ )、相安定性を表2に示す。磁化の温度依存性はステンレス鋼では、20~50K付近に極大を示し、高Mn鋼では室温に近い温度域でクリックを示し、それ以下の温度域で温度の低下とともに磁化が減少する。いずれも反強磁性型の温度依存性である。

⑤相安定なステンレス鋼でも4K付近では著しく大きい磁化、磁化率を示すのに対し、高Mn鋼はステンレス鋼に比べて小さい磁化、磁化率を示す。

Table 1. Chemical compositions (wt%).

| No | Specimen  | C     | N    | Mn   | Nn    | Cr    | Mo   | V    |
|----|-----------|-------|------|------|-------|-------|------|------|
| 1  | 304       | 0.067 | 0.02 | 1.08 | 9.80  | 18.16 | —    | —    |
| 2  | 304N      | 0.068 | 0.20 | 1.03 | 9.23  | 18.77 | —    | —    |
| 3  | 316L      | 0.020 | 0.02 | 1.02 | 12.26 | 17.10 | 2.51 | —    |
| 4  | 316LN     | 0.034 | 0.20 | 1.04 | 11.78 | 17.36 | 2.53 | —    |
| 5  | 0.6C-18Mn | 0.60  | 0.02 | 17.4 | 0.98  | 5.54  | —    | 1.00 |
| 6  | 0.2C-28Mn | 0.17  | 0.16 | 29.5 | 0.99  | 5.58  | —    | 0.96 |

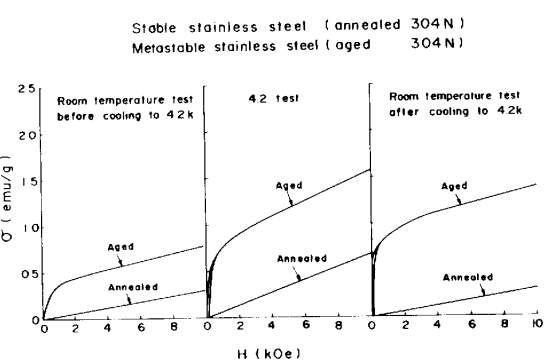


Fig. 1 Magnetization measurements for SUS304N steel at RT and 4.2K.

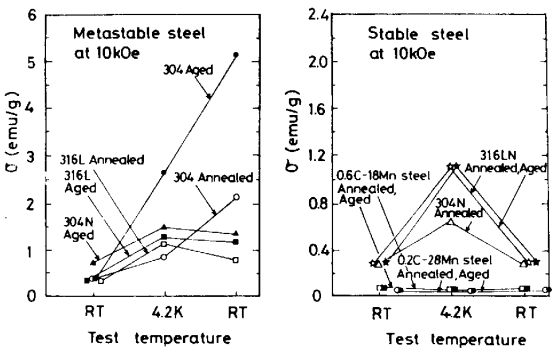


Fig. 2 Magnetization at RT and 4.2K at 10kOe.

Table 2. Magnetic susceptibility, Néel temperature, and phase stability.

| Specimen        | Heat treatment | $\chi$ (emu/g × 10 <sup>-4</sup> ) |      |       | $T_N$ (K) | Phase stability |
|-----------------|----------------|------------------------------------|------|-------|-----------|-----------------|
|                 |                | RT(1)                              | 4.2K | RT(2) |           |                 |
| 304             | AN             | 31                                 | 70   | 48    | 49        | metastable      |
|                 | AG             | 32                                 | 86   | 64    | 49        |                 |
| 304N            | AN             | 28                                 | 64   | 28    | 40        | stable          |
|                 | AG             | 33                                 | 71   | 37    | 40        |                 |
| 316L            | AN             | 33                                 | 105  | 46    | 38        | stable          |
|                 | AG             | 33                                 | 110  | 57    | 38        |                 |
| 316LN           | AN             | 30                                 | 131  | 30    | 19        | stable          |
|                 | AG             | 30                                 | 131  | 30    | 21        |                 |
| 0.6C-18Mn steel | AN             | 19                                 | 14   | 19    | 270       | stable          |
|                 | AG             | 19                                 | 16   | 19    | 272       |                 |
| 0.2C-28Mn steel | AN             | 14                                 | 11   | 14    | 380       | stable          |
|                 | AG             | 14                                 | 11   | 14    | 372       |                 |

AN Annealed, AG Aged  
 $\chi$  Magnetic susceptibility,  $T_N$  Néel temperature  
 RT(1) Room temperature before cooling  
 RT(2) Room temperature after cooling